

## Tekerlekiçi Fırçasız Doğru Akım Motorlarının Sıcaklık Dağılımlarının Toplu Parametreli Devre Modeli Şeması ile İncelenmesi

Temperature Distribution Analysis of In-Wheel Brushless Direct Current Motor Based on  
Lumped Circuit Schemes

Ali Sinan ÇABUK<sup>1</sup>

<sup>1</sup>İstanbul Teknik Üniversitesi, Elektrik-Elektronik Fakültesi, Elektrik Mühendisliği Bölümü, Maslak-Istanbul

### Öz

Elektrik motorlarında sıcaklık etkisi motorun çalışma karakteristğini etkileyen önemli parametrelerden birisidir. Isıl etkinin iyi bir şekilde incelenmesi gerekmektedir. Araştırmacılar tarafından yapılacak elektrik motoru tasarımlarının buna uygun olarak düzenlenmesi gerekmektedir. Bu çalışmada, tekerlekiçi fırçasız doğru akım (FDA) motorunun sıcaklık dağılımlarının incelenmesi toplu parametreli devre modeli şeması yardımıyla gerçekleştirilmiştir. Isıl etkiler elektrik motorlarının performanslarını değiştirir. Bununla birlikte kalıcı mıknatısların manyetik özelliklerini geri dönülmeksizin yitirmelerine neden olurlar. Motor sargılarındaki yalıtkanları bozunuma uğratırlar. Bütün bu etmenlerden dolayı isıl etkinin imalattan önce iyi incelenmesi gereken bir parametre olduğu unutulmamalıdır. Bu çalışmada hafif elektrikli araçlarda daha çok kullanılmakta olan 3000 W çıkış gücü değerine sahip, bara geriliği 150V, hızı 1000 d/dk olan 20 kutup-24 oluklu yapı tercih edilmiştir. Isıl analiz sonuçları ile prototip üzerindeki isıl test sonucu değerleri incelenip, motorun tasarımında kullanılan parçalar üzerindeki etkileri irdelemiş, benzetim çalışması sonuçlarının gerçekçi sonuçlarla örtüşerek imalat öncesi tercih edilebilir bir yaklaşım olduğu yargısına ulaşılmıştır.

**Anahtar kelimeler:** Tekerlekiçi Fırçasız Doğru Akım Motoru, Isıl Etki, Lumped-Devre Modeli, Verim, Sargı Yapısı, Hafif Elektrikli Araçlar

### Abstract

Thermal effect is one of the most important parameters for electric motors. The thermal effect should analysis as detail by researcher. Hence the design of electric motor can be fixed with thermal analysis. In this study, the temperature distributions of the in-wheel brushless direct current (BLDC) motor were examined using the Lumped-circuit model scheme. Thermal effects change the performance of electric motors. However, they cause the permanent magnet to lose its magnetic properties without recurrence. They decompose insulators in motor windings. Because of all these factors, it should be noted that the thermal effect is a parameter that needs to be examined well before manufacturing. For this paper, 20-poles/24-slots with fixed power of 3000 W bus voltage and motor speed as 150 V and 1000 rpm has been preferred which is used more in light electric vehicles. Thermal analysis results and prototype thermal test were examined, the effects on the parts used in motor design were investigated, the results of the simulation studies overlap with the experimental test results reached a judgment that can be preferred before manufacturing.

**Keywords:** In-Wheel BLDC Motor, Thermal Effect, Lumped Circuit Schemes, Efficiency, Winding Shape, Light Electric Vehicle

## I. GİRİŞ

Elektrik motorlarında isıl etki performansı etkileyen önemli parametrelerden birisidir. Bu etkinin doğru bir şekilde incelenip yapılacak elektrik motoru tasarımlarının buna uygun olarak düzenlenmesi gerekmektedir. Isıl etkisi iyi anlaşılmayan ve buna önlem alınmayan bir elektrik makinesinin kayıplarının artarak verimsiz çalışma durumuna geçmesi gözlemlenir. Bununla birlikte sabit mıknatısların curie sıcaklığı değerini aşarak mıknatısların geri dönülmeksizin bozunuma uğramasına, sargıların aşırı isımasına ve motor sargı yalıtkanlarının zarar görmesine neden olur [1-5].

Elektrik motorları sürekli olarak nominal güç değerlerinde çalışabilirler. Nominal güç ifadesine teorik olarak bakıldığından; sürekli çalışma sırasında verebilecekleri en büyük mil gücü olarak tanımlanabilir. Motor çıkış gücüne etki edecek miline bağlı yüklerin nominal güç değerinden daha fazla yüklenmesi durumunda da sürekli çalışma durumunda olmamak koşuluyla çalışabilir. Kısa süreli nominal güç değerinden yüksek olan bu çalışma halinin motor üzerine birçok zararlı etkileri vardır, fakat belirtilen çalışma süresi uzun olmadığı durumlarda bu etkiler kabul edilebilir düzeydedir. Aşırı yük durumunda çalışma süresi uzatılırsa ısınmadan dolayı motor sargılarının yanmasına, sargı yalıtkanlarının zarar görmesine ve sabit mıknatısların özelliklerini kalıcı olarak yitirmesine neden olabilir [6]. Bu yüzden aşırı yük durumunun ve dolayısıyla motor sıcaklık değerlerinin kontrol altında tutulması önemlidir. Gerek motorların ısıl performans testleri ile ilgili standartlar gerekse çeşitli yüklerde çalışırmak için gerekli olan performans ölçütleri ve çalışma koşullarıyla ilgili standartlar döner elektrik makinalarının performans değerlendirmeleri uluslararası standartı olan IEC 600034-1 standartı altında yer almaktadır.

Elektrik motoru sargı olukları içinde kullanılan yalıtkan malzemelerin özellikleri yalıtım sınıflarıyla birlikte belirlenir. Her yalıtkan malzeme sınıfının dayanabileceği sıcaklık değerleri vardır. Bunlar Tablo 1'de verilmiştir [7,8].

**Tablo 1.** Motor sargı yalıtım sınıfları ve çalışma sıcaklıklarları [9,10]

Yalıtım Sınıfı	Maksimum Sargı Sıcaklığı [°C]	Maksimum Isınma [°C]	Isınma Toleransı [°C]
A	105	60	5
E	120	75	5
B	130	80	10
F	155	105	10
H	180	125	15

Tekerlekçi firçasız doğru akım (FDA) motorlarında sıcaklıktan en fazla etkilenen kısımlar sabit mıknatıslar ve sargılardır. Motor sıcaklığının izin verilen maksimum sıcaklık değerlerini aşması durumunda motor sargılarının motor gövdesiyle olan yalıtımını sağlayan yalıtkan malzeme özelliğini kaybedip zarar görebilir ve motor sargı iletkenleri arasında kısa devrelere neden olabilir [9]. Bununla birlikte mıknatıslar enerji yoğunluğu değerlerini sıcaklık artışıyla kaybetmeye başlarlar. Curie sıcaklığına erişen sabit mıknatıslar geri dönmeksizin manyetik özelliklerini kaybederler. Bu nedenlerden dolayı motor çalışma sıcaklığının imalattan önce bilinmesi önem arzeder.

Bu çalışmada hafif elektrikli araçlarda kullanılan tekerlekçi FDA motorunun Motor Cad yazılımı ile benzetim çalışmasıyla ısıl analizi yapılmıştır. Motor-Cad yazılımı gözlü elektrik devre yapısına benzeyen göz ağları kullanarak ısıl problemleri ortaya çıkarır ve sürekli rejim halindeki ısıl devre modelini tanımlar. Yazılım motor parçaları düğümleri arasına bağlı ısıl dirençleri ve ısı kaynaklarını içerir. Ayrıca geçici hal benzetiminde ise gövdenin ısıl dirençlerini ilave eder. Bu sırada gövdenin zamana bağlı değişim gösteren iç enerjisini hesaplamlara ilave etmek için ısıl kapasitanslar kullanmaktadır. Burada belirtilen ısıl dirençler iletim ve yayım olarak Eşitlik 1 ve 2 deki gibi hesaplanır.

$$R_{iletim} = \frac{l}{\lambda A} \quad (1)$$

$$R_{yayinim} = \frac{l}{\alpha A} \quad (2)$$

Burada  $l$  düğüm noktaları arası uzaklık,  $\lambda$  ısıl iletkenlik katsayısi,  $A$  kesit alanı ve  $\alpha$  ise ısı yayımı katsayısidır.

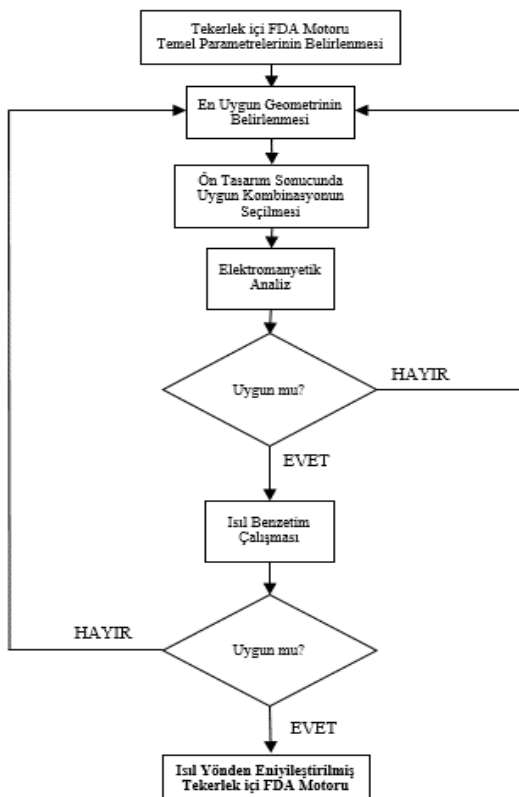
Isıl kapasitanslar ise;

$$C = V \rho c \quad (3)$$

Burada  $V$  hacim,  $\rho$  yoğunluk ve  $c$  malzemenin ısıl kapasitesidir [10].

Yapılan benzetim çalışması için hafif elektrikli araçlarda (güneş arabası, motosiklet vb.) daha çok tercih edilen yapı olan 3000W çıkış gücü değerine sahip, bara gerilimi 150V, hızı 1000 d/dk olan 20 kutup-24 oluklu yapı tercih edilmiştir. Bu yapı yazarların önceki çalışmalarında performans olarak iyi sonuçlar vermiş olan bir tasarım yapısına sahiptir [6].

Bu çalışma boyunca yapılan işlem adımları ve süreç Şekil 1'de verilmiştir.



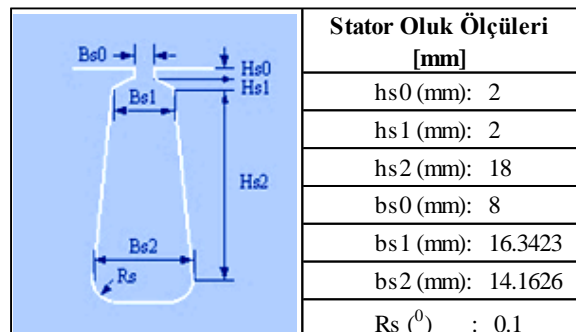
Şekil 1. Tekerlekiçi FDA motorunun ısil analiz süreci

## II. TEKERLEK İÇİ FDA MOTORU İSİL BENZETİM ÇALIŞMASI

Güneş arabası yarışlarında kullanılan hafif elektrikli araç tekerlek yapısı ölçüsü baz alınarak Tablo 2 ve Şekil 2'de verilen 6mm. kalınlığında ve mıknatıs kucaklama değeri (brace) 0,8 olan sabit mıknatılı tekerlekiçi FDA motoru parametreleri ile tasarım çalışmasına başlanmıştır. Tasarımın ön benzetim çalışması sonlu elemanlar yöntemi (SEY) ile gerçeklenmiş ve elektromanyetik analizleri yapılmıştır.

Tablo 2. Tekerlekiçi FDA motoru tasarım çalışması başlangıç değerleri

Parametreler	Değer
Güç [W]	3000
Gerilim [V]	150
Anma Hızı [d/dk]	1000
Min Araç Ağırlığı [kg]	370
Tekerlek Çapı [mm]	320
Stator Malzemesi	M27_26G
Sabit Mıknatıs	NdFeB38



Şekil 2. Tekerlekiçi FDA motoru stator oluk ölçüler

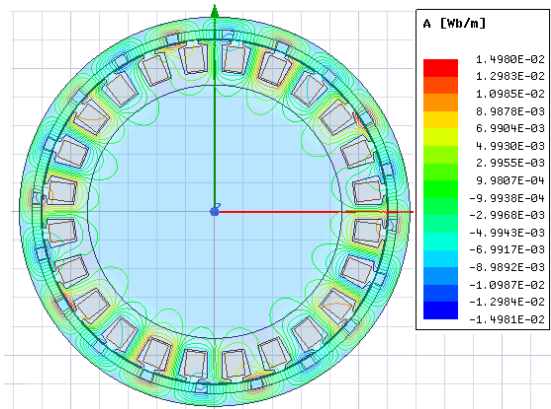
Tablo 2'de verilen veriler çerçevesinde oluşturulan yapının elektromanyetik analizleri motorun parametrelerinin belirlenmesi anlamında önem taşımaktadır. Bu parametrelerle oluşturulan motor sarım sayısı 32 olan yarım kalıp-konsantrik sargılıdır. Sargılarda çapı 2,174 mm, yalıtkan vernik kalınlığı 0,3 mm olan iletkenler kullanılmıştır. Oluk doluluk oranı imalatta sıkıntı olmaması için %60 değerini aşmayacak şekilde belirlenmiştir. Elektromanyetik alan analizleri sonucunda statorda doyma noktalarının oluşup oluşmadığı, manyetik alan kuvvet çizgilerinin düzgün dağılımda olup olmadığını kontrolü yapılmaktadır. Yapılan benzetim çalışmasında bütün faz sargılarının direnci, öz ve karşılıklı endüktansı eşit ve sabit, manyetik devre doyumlari göz ardı edilmiş ve çalışma ortam sıcaklığı değeri 90°C olarak belirlenmiştir. Yapılan bu benzetim Eşitlik 4 poisson denklemi ve Eşitlik 5'de verilen 2 boyutlu poisson denklemi yardımıyla hesaplamalarını yapmaktadır.

$$\mathbf{V}^2 V = -\frac{\rho_f}{\varepsilon} \quad (4)$$

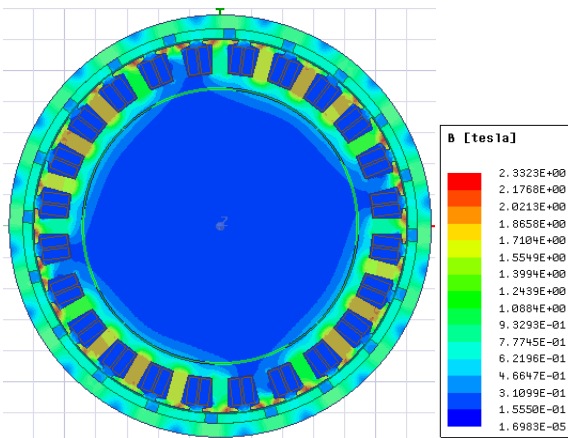
$$\frac{\partial^2 V}{\partial x^2} + \frac{\partial^2 V}{\partial y^2} = -\frac{\rho_f}{\varepsilon} \quad (5)$$

Burada  $\rho_f$  yük yoğunluğu,  $\varepsilon$  ortamın dielektrik katsayısıdır.

Yukarıda parametreleri belirtilen tekerlekiçi FDA motorunun manyetik alan analizleri sonucunda bulunacak manyetik akı çizilerinin motor geometrisi üzerindeki dağılımı ve manyetik akı yoğunluğunun nerelerde doyuma gittiği veya gitmediğinin anlaşılması için önem taşımaktadır. Şekil 3 ve 4'de benzetim sonucunda elde edilen manyetik akı çizgisi ve manyetik akı yoğunluğu dağılımları görülmektedir.



**Şekil 3.** Tekerlekçi FDA motoru iki boyutlu manyetik akı çizgileri dağılımı



**Şekil 4.** Tekerlekçi FDA motoru iki boyutlu manyetik akı yoğunluğu dağılımı

Şekil 3'de verilen tekerlekçi FDA motorunun manyetik akı çizgilerinin gerek rotor sirt demirinde gerekse stator dişleri üzerinde düzgün bir dağılım gösterdiği görülmektedir. Şekil 4'deki manyetik akı yoğunluğu dağılımına bakıldığından, stator diş uçlarında sınır akı yoğunluğu değerleri olan 2T'ya yaklaşıldığı ama motorun genelinde sınır değerlerin aşılmadığı anlaşılmaktadır.

Benzetim çalışması sonucunda moment değerinin 30Nm. civarında olduğu, dış momentinin 0,58 Nm., endüvi akım yoğunluğunun  $4,36 \text{ A/mm}^2$ , ortalama giriş akımı 22,3A olduğu görülmektedir.

Benzetim sonuçlarından tekerlekçi FDA motorunun hedeflenen moment değerine stator ve rotor üzerinde doyma bölgeleri olmadan erişebileceğİ yargısına varılmıştır. Tekerlekçi FDA motorları için önemli konulardan biriside fiziksel alan yetersizliğinden dolayı doğal soğutmaya uygun olup olmadığıının incelenmesidir. Yapılan manyetik alan analizlerinden endüvi akım yoğunluğunun doğal soğutmaya uygun olan 4-6

$\text{A/mm}^2$  sınır değeri içerisinde olduğu görülmektedir. Manyetik alan analizi sonuçları belirtilen motorun termal analizinin doğal soğutma olacak şekilde tasarıma başlanması gerektiğini belirtmektedir. Benzetim sonuçlarından ortaya çıkartılan yapının gerçek çalışma sırasında olacak olan ısının motor bileşenlerine ve benzetim sonuçlarına etkisini gözlemleyebilmek için Motor-Cad yazılımı ile gerçek ısıl analizi yapılmıştır. Bu yazılım ısıl analizi yapabilmek için manyetik alan analizine ait olan benzetim dosyasından motorun geometrik ölçütleri, elektriksel parametreleri, manyetik alan analizi sonuçları gibi birçok veriyi kendisi almaktadır. Bu yazılımın temelini oluşturan toplu parametreli devre modeli, elektrik motorlarının sıcaklık etkilerin ortaya çıkartılması sırasında kullanılan çözümlemeli yaklaşımındır. ısıl çözümleme yapan benzer yazılımlar toplu ögeli olan toplu parametreli devre modelini temel alarak analizlerini gerçekleştirirler. Sıcaklık dağılımlarının yer aldığı bu devre modelinde, motor gövdesi içerisinde bulunan ve birbirleriyle etkileşim halindeki parçalar arasında taşınım, iletim ve işinim yöntemiyle ısıl etkiler aktarılmaktadır ve bunların ısıl değerleri analitik yöntemlerle hesaplamaktadır. Tekerlekçi FDA motorunu oluşturan parçaların sıcaklıklarını yaklaşık olarak değerlendirmek için geliştirilen analitik ısıl devre modeli stator ve rotor için ısıl hesaplama Eşitlik 6 ve 7'deki gibidir.

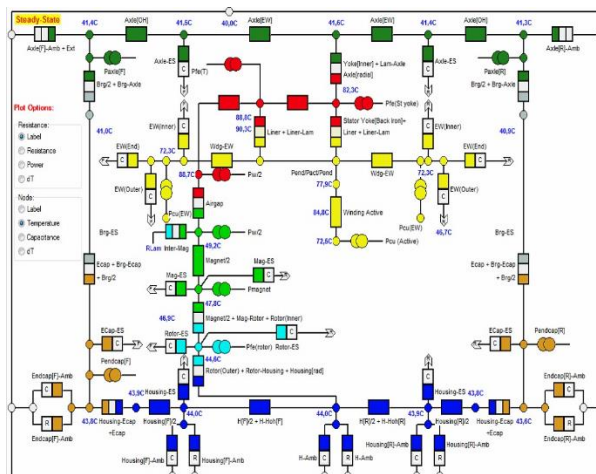
$$\Delta\Theta_R = [p_R \left(\frac{I}{I_N}\right)^2 \Delta\Theta_{NR}] \left[1 - e^{-t/\tau_{1R}}\right] + [(1-p_R) \left(\frac{I}{I_N}\right)^2 \Delta\Theta_{NR}] \left[1 - e^{-t/\tau_{2R}}\right] \quad (6)$$

$$\Delta\Theta_S = [p_S \left(\frac{I}{I_N}\right)^2 \Delta\Theta_{NS}] \left[1 - e^{-t/\tau_{1S}}\right] + [(1-p_S) \left(\frac{I}{I_N}\right)^2 \Delta\Theta_{NS}] \left[1 - e^{-t/\tau_{2S}}\right] \quad (7)$$

Burada  $\Delta\Theta_R$  rotordaki ısıl artışı,  $\Delta\Theta_S$  stator ısıl artışı,  $p_R$  ve  $p_S$  rotor ve stator sargılarının kısa süre sabiti için ağırlık faktörünü,  $I_N$  nominal akımını,  $I$  faz akımını,  $\tau_{1R}$  ve  $\tau_{1S}$  rotor ve stator sargılarının anlık soğuma-ısnıma zaman sabitini,  $\Delta\Theta_{NR}$  ve  $\Delta\Theta_{NS}$  rotor ve statorun nominal yük ve akım durumundaki ısıl artışını,  $t$  zamanı,  $\tau_{2R}$  ve  $\tau_{2S}$  rotor ve statorun gövdesindeki soğuma-ısnıma zaman sabitini verir [11-14].

Bu çalışmada üzerinde incelemeler yapılan prototipin benzetim çalışması sonucunda iletken akım yoğunluğu değerinin 4 ile 5  $\text{A/mm}^2$  arasında değişim gösterdiği görülmüştür. Bundan dolayı, oluşturduğumuz yapının ilave bir soğutucu ünitesine gereksinim duymadığı ve doğal hava soğutmanın yeterli olacağı düşünülmüştür. Zaten tekerlekçi motor yapıları doğal soğutma dışında soğutulmaları mekaniki kısıtlamalar yüzünden oldukça zordur. ısıl analiz çalışmaları motorun doğal soğutma sistemine sahip olmalı yargısına göre devam

ettirilmiştir. Tablo 2'deki değerlere sahip tekerlekiçi FDA motor tasarımı Motor-Cad yazılımıyla analiz edilmesinden ortaya çıkan toplu parametrelî isıl devre modeli Şekil 5'de gösterildiği gibidir.



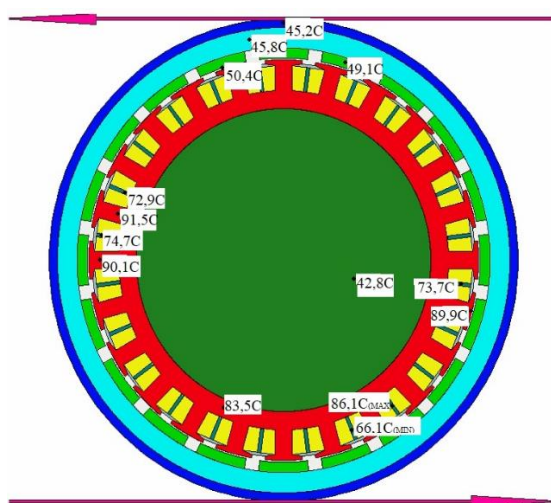
**Şekil 5.** Tekerlekiçi FDAM toplu parametrelî isıl dağılım devre modeli

Bu devre modelinde kahverengi renk motor gövdesini, koyu mavi renk motor kasasını, turkuaz renk rotor sırt demirini, kırmızı renk stator sacını, açık yeşil renk sürekli mıknatısı, sarı renk stator sargısını, koyu yeşil renk mili ve gri renk ise rulmanı ifade etmektedir. Ayrıca bu isıl devre modelinde kullanılan sembollerin anlamları ise Tablo 3'de verildiği gibidir.

**Tablo 3.** Tekerlekiçi FDAM isıl dağılım devre modeli parametreleri

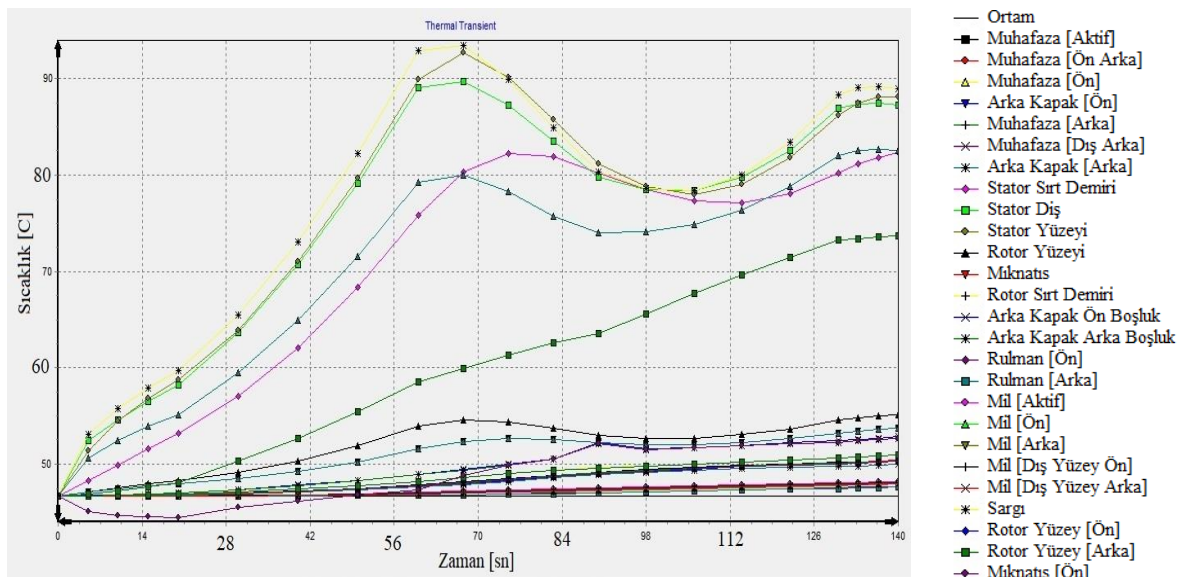
Parametre	Açıklama
	Termal direnç
	Arayüz direnci
	Isı yayılımı direnci
	Radyasyon direnci
	Güç kaybı
	Düğüm noktası
	Sıcaklık farkı
	Güç akışı

Şekil 5'de verilen toplu parametrelî isıl dağılım devre modeli üzerinde isıl düğüm noktaları ve bunlara bağlı olan motor parçalarının sıcaklık değerleri verilmiştir. Bu isıl devre modelinin daha iyi anlaşılabilmesi için Şekil 6'daki isıl dağılımların incelenmesi gerekebilir. Tekerlekiçi FDA motorun radyal geometrisi üzerindeki isıl dağılımlar ise Şekil 6'da verildiği gibidir.



**Şekil 6.** Tekerlekiçi FDAM radyal geometri isıl dağılım

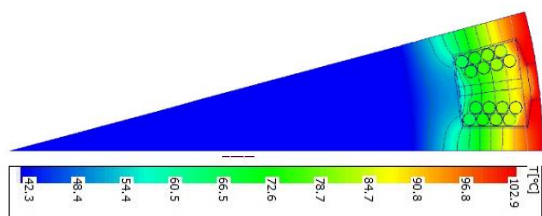
Gerek isıl dağılım devre modelinde gerekse radyal geometri isıl dağılımında görüldüğü üzere motorun genelinde ortalama değerler olarak  $92^{\circ}\text{C}$ 'nin geçilmediği, sadece manyetik akımın yoğun olduğu oluk dislerinde  $91,5^{\circ}\text{C}$  değerine ulaştığı görülmektedir. Benzetim modelinde kullanılan prototipin rotoru için seçilen NdFeB38 sürekli mıknatısının çalışma sıcaklığı  $80^{\circ}\text{C}$  dir. Isıl dağılım devre modelindeki sabit mıknatıs üzerindeki çalışma ortalama sıcaklığının  $49,1^{\circ}\text{C}$  civarında ve yüzey sıcaklığının  $77,61^{\circ}\text{C}$  olduğu görülmektedir. Bu sıcaklık değeri NdFeB\_38H mıknatısının manyetik bozulumunun olabileceği sıcaklık değerinin (Curie sıcaklığı) altında olduğu gözlenmiştir. Böylece bu sonuçlar elektromanyetik alan analizi ile ulaşılan; tekerlekiçi FDAM geometrisindeki elektriksel büyüklüklerin ilave bir soğutma sistemine ihtiyaç duymayacağı yargısını desteklemektedir.



**Şekil 7.** Tekerlekiçi FDA motoru zamansal ısıl dağılım

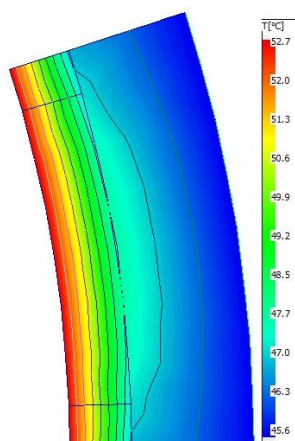
Şekil 7'deki zamansal ısıl dağılıma baktığımızda sargılar ve stator yüzeyindeki sıcaklık değerlerinin ani bir artış gösterip 84. saniyeden sonra rejime girdiği ve ulaştığı sıcaklık değeri etrafında salınımalar yaptığı görülmüştür. Rotor yüzeyi ve sabit mıknatısların ise zaman değişimiyle doğru orantılı bir biçimde yüksek artışlar oluşmadığı anlaşılmıştır.

Şekil 8'de tekerlekiçi FDAM stator kesiti ısıl dağılımında görüldüğü üzere stator oluk tabanında sıcaklığın düşük seviyelerde olduğunu, olukların hava aralığına yakın bölgelerinde ise sıcaklık değerlerinin daha yüksek değerlere çıktıığı belirtilebilir. Ortalama sargı sıcaklığının  $121,04^{\circ}\text{C}$  olduğu için stator olukları içindeki B sınıfı bir izolasyon malzemesi tercih edilmesi gerektiği sonucu çıkartılabilir. Bu izolasyon sınıfına sahip malzeme ile motorda, özellikle aşırı akıma neden olacak zor şartlarla karşılaşılacağı ve aşırı yüklenmelerin olacağı uygulamalarda yüksek ısıl dayanıklılık sağlanmış olur.



**Şekil 8.** Tekerlekiçi FDAM stator kesiti ısıl dağılımı

Sırt demirine ait Şekil 9'daki rotor kesiti ısıl dağılımında sabit mıknatısların hava aralığına yakın olan bölgelerinde yüksek sıcaklıklara çıkarken, sırt demirine yakın olan bölgelerinde daha düşük sıcaklık değerlerine eriştiği görülmektedir. Bu değer mıknatıs yüzeyi üzerinde  $77,61^{\circ}\text{C}$  civarında olduğu ve seçilmiş olan NdFeB38 mıknatısın curie sıcaklığı olan  $80^{\circ}\text{C}$ 'ye erişmediği görülmektedir.



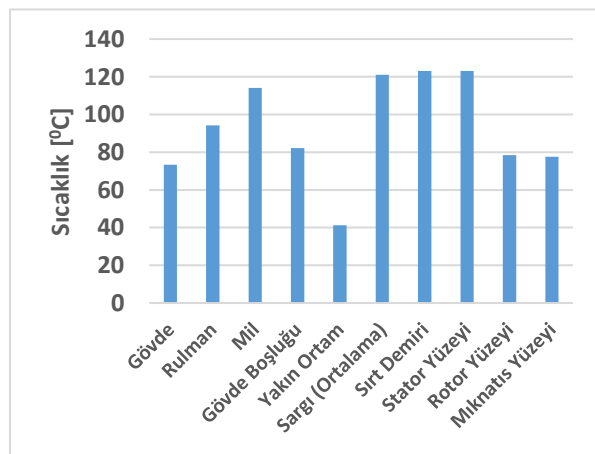
**Şekil 9.** Tekerlekiçi FDAM rotor kesiti ısıl dağılımı

Şekil 5,6,7, 8 ve 9'dan edindiğimiz bütün ısıl analiz verilerini Tablo 4'de görebiliriz.

**Tablo 4.** Termal analiz sonucu

Sıcaklık Ölçüm Bölgesi	Sıcaklık [ °C ]
Gövde	73,31
Rulman	94,24
Mil	114,05
Gövde Boşluğu	82,12
Yakın Ortam	41,2
Sargı (Ortalama)	121,04
Sırt Demiri	123,07
Stator Yüzeyi	123,09
Rotor Yüzeyi	78,51
Mıknatıs Yüzeyi	77,61

Tablo 4'de görüldüğü üzere sargı sıcaklıkları yüksek değerlerde olmasına rağmen kabul edilebilir sınır değerleri içindedir. Gerek stator sacları ve rotor çeliği, gerekse sabit mıknatıslar gerçek isıl analiz sonuçlarında belirtilen sıcaklık değerleri içinde çalışabilecek malzemelerdir. Burada özellikle sabit mıknatısların maruz kaldığı sıcaklık değeri manyetik bozuluma uğramaması bakımından önem arzetmektedir. Şekil 10'da Motor-Cad yazılımı ile yapılan benzetim sonuçlarının karşılaştırılması verilmiştir. Buna göre tekerlekçi FDA motorunda en çok isınan yer stator yüzeyi ve sargılar, en az isınma olan parça ise motor gövdesi ve mıknatıs yüzeyleridir.

**Şekil 10.** Tekerlekçi FDAM isıl dağılım

### III. ISINMA TESTİ

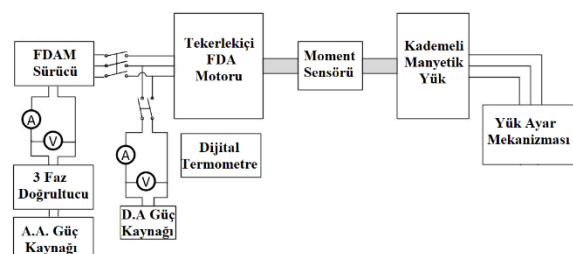
Yüksek sıcaklık durumu FDAM için sabit mıknatısların bozulmasına ve yalıtkan malzemelerin özelliklerini yitirmesinin yanı sıra bakır kayıplarının artmasına neden olur. Sargılardaki bu ısı motorun

rotor, stator, gövde ve miline yayılır ve motorun gövde içi sıcaklığını yükseltir. Bundan dolayı, motorun gövde isısını dikkate alarak sargı sıcaklığının değeri hakkında yargıya varmak doğru olmaz. Motor sıcaklığının ölçümünde iki yöntem kullanılmaktadır; termik elemanlarla ölçüm yöntemi ve direnç artışı yöntemi. Bu çalışmada yapılan isınma deneyinde yaygın olarak tercih edilen direnç artışı yöntemi kullanılmıştır. Direnç artışı yöntemi, iletkenin sıcaklık değişimine bağlı olarak direnç değerinin değişmesi durumuna dayanır. IEC 60034-1 standardına göre yapılan isınma deneyinde motorun milinin nominal güç ile yüklenmesi ve önceden belirlenmiş aralıklarda sargı direnç değerinin ölçülmesi ile gerçekleştirilmiştir. Isınma deneyi başlangıç koşulu olarak motor iç sıcaklığının ortam sıcaklığı olarak kabul edilmiştir. Sargılarda kullanılan iletkenler için direnç artışı karakteristiği dikkate alınarak, ilk ve son direnç oranlarından sargıların ulaşığı ortalama sıcaklık değeri Eşitlik 8 ile belirlenir [12,13].

$$\frac{\theta_2 + k}{\theta_1 + k} = \frac{R_2}{R_1} \quad (8)$$

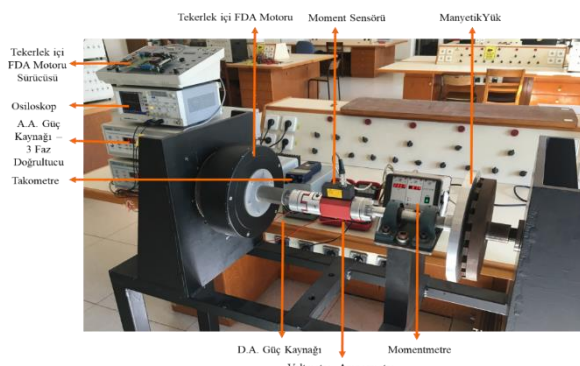
Burada  $\theta_1$  soğuk durumda sargı sıcaklığı,  $\theta_2$  isınma deneyi sonundaki sargı sıcaklığı,  $R_1$   $\theta_1$  sıcaklığındaki sargı direnci,  $R_2$  isınma deneyi sonucundaki sargı direnci,  $k$  0°C'deki malzemenin sıcaklık katsayısıdır.

Isınma testinin amacı motorun sargı sıcaklığının çeşitli yük durumları için çıkarılması ve Motor-Cad yazılımı ile benzetim çalışmasıyla ulaşılan sonuçlarla uyumunun karşılaştırılmasıdır. Isıl test sırasında, motorun performans deneyi sonucuyla erişilmiş en iyi çalışma noktasındaki yük ile yüklenmiş ve motorun sürekli çalışma sıcaklığında olup olmadığından denetimi yapılmıştır. Isınma deneyinde Şekil 11'deki bağlantılar kurulup gerekli ölçümler yapılmıştır. Bu deneyde motorun en iyi performans deneyi sonucundaki gücün sabit tutulmuş ve ortam sıcaklığı 25,8°C olduğu durumda gerçekleştirilmiştir.

**Şekil 11.** Tekerlekçi FDAM isınma deneyi bağlantı şeması

Şekil 12'de görülen test düzeneğinde motoru yüklemek için manyetik fren kullanılmıştır. Test esnasında manyetik yük değeri artırılarak gerekli ölçümler yapılmıştır. 3 saat süren isınma deneyinde motor

mlinin güç değeri sabit tutularak yolverilen motorun direnç değeri ölümleri ilk 1 saat boyunca 15'er dakika aralıklarla, daha sonraki 2 saatlik dilim için yarım saatlik aralıklarla yapılmıştır. Yapılan direnç artış yöntemi ölçümleri hassas olması ve deneyin bütünlüğünün bozulmaması için birkaç saniye içerisinde yapılmıştır. Isınma deneyi boyunca motor sargı sıcaklığı değerleri Tablo 5'de verilmiştir. Deney sonucunda motor sargı sıcaklığı  $118,213^{\circ}\text{C}$ 'ye ulaşmıştır. Isınma deneyi sırasında alınan değerlere bağlı olarak motor isınma eğrisi Şekil 13'deki gibi oluşturulmuştur.

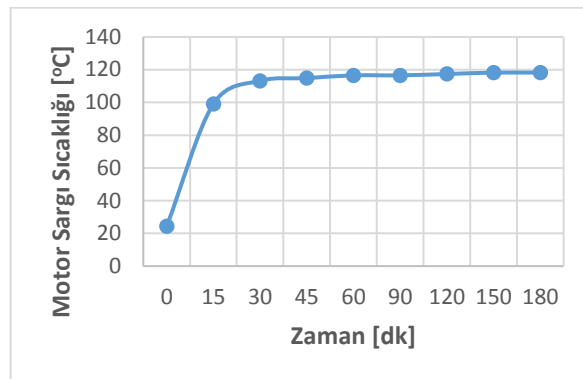


**Şekil 12.** Tekerlekçi FDAM ısınma deney düzeneği

Tablo 5 ve Şekil 13'de görüldüğü gibi ısınma deneyi ile elde edilen motor sargı sıcaklığının Motor-Cad yazılımı ile elde edilen sonuç ile örtüştüğü görülmektedir. ısınma testi ile elde edilen motor sargı sıcaklığı ortalama değeri  $114,26546^{\circ}\text{C}$ 'dir. Motor-Cad benzetim çalışması ile elde edilen ortalama motor sargı sıcaklığı ise  $121,04^{\circ}\text{C}$ 'dir. Buradan gerçek ölçüm ile benzetim çalışması ile elde edilen sıcaklık değerleri arasında % 5,6 fark olduğu görülmektedir.

**Tablo 5.** Isınma deneyi sonuçları

Ölüm Süresi [dk]	Ortam Sıcaklığı [°C]	Sarıgı Direnci (2R) [Ohm]	Motor Sarıgı Sıcaklığı [°C]	D.A. Kaynak Gerilimi [V]	D.A. Kaynak Akımı [A]
0	25,8	0,312	24,3	3	9,615
15	25,9	0,402	99,0981	3	7,463
30	26	0,419	113,227	3	7,156
45	26	0,421	114,889	3	7,126
60	26,7	0,423	116,551	3	7,092
90	26,1	0,423	116,551	3	7,092
120	26	0,424	117,382	3	7,076
150	26,4	0,425	118,213	3	7,059
180	25,7	0,425	118,213	3	7,059



**Şekil 13.** Motor ısınma grafiği

Deney sonucu elde edilen sıcaklık değeri göz önüne alınıp toplu parametreli devre modeliyle birlikte sabit mıknatısların bozunuma uğramadan çalışma gösterecekleri yargısına erişilebilir. Bunun yanında sargı yalitimında kullanılan malzemenin B yalitim sınıfına sahip olması gerekliğinde doğrulanmış olmaktadır.

#### **IV. SONUCLAR**

İsıl etki tekerlekiçi FDAM performansına etki eden önemli parametrelerden birisidir. Bu tip yapıda olan elektrik motorlarında gövde içi soğutma için kullanılan pervane, gövde kanatçıları gibi yapılar mekaniki sınırlama nedeniyle tasarımlarda kullanılamamaktadır. Bu nedenden dolayı tekerlekiçi FDA motorlarda sıcaklık etkisinin iyi incelenmesi gerekmektedir. Motor parçaları üzerindeki isıl etkileri imalatan önce gerekli şekilde incelenmeden üretimi yapılan tekerlekiçi FDA motorun kayiplarının öngörmeyen bir şekilde arttığı ve verimsiz bir çalışma durumu sergiler. Bununla birlikte yüksek isıl etkiler tekerlekiçi FDAM sürekli mıknatıslarının curie sıcaklığı değerini geçtiğinde geri dönülmeksızın manyetik özelliklerini kaybetmesine, sargıların aşırı ısınıp zarar görmesine ve sargı yalıtkan malzemelerinin zarar görmesine neden olur. Belirtilen bütün bu olumsuzluklar motorun arıza durumuna geçmesini kolaylaştırıp motorun çalışma ömrü azaltacaktır. Belirtilen bu olumsuzluklar, imalat sonucunda elde edilecek isıl etkilerin önceden bilinmesine yardımcı olacak gerçekçi yaklaşımların önemini daha iyi anlamayı sağlamaktadır. Yardımcı mekaniki soğutmaya imkan vermeyen tekerlekiçi FDA motorlarda sıcaklığın tasarım sırasında belirlenmesi, hem tasarımın değişmesine hemde malzeme seçimlerine etki etmektedir.

Bu çalışma, tekerlekçi FDAM toplu parametreli devre modeli benzetim çalışması sonuçlarının prototipi imal edilmiş olan motorun üzerinde yapılan ıslık test sonuçlarını doğrular nitelikte olduğunu göstermektedir. Tablo 4’de verilen benzetim sonuçlarıyla Tablo 5’de verilen ıslık test sonuçları birbirini destekler niteliktir. Motor sargı sıcaklığı,

benzetim çalışması sonucu ile motorun gerçek çalışma koşulunda ölçülen değeriyle arasında % 5,6'lık bir hata payı olduğu görülmektedir. Bu fark değerinin kabul edilebilir sınırlar içerisinde olduğu söylenebilir. Isıl analiz sonuçlarının toplu olarak incelendiği Tablo 4 ve 5'de de görüldüğü üzere sargı sıcaklıklarını yüksek değerlerde olmasına rağmen kabul edilebilir sınır değerleri içindedir. Böylece gerekli çıkış gücünü elde ederken sargıların isıl etkilerden zarar görmeyecek olduğu yargısına erişilmektedir. Şekil 6,8 ve 9'de verilen isıl dağılımlarında sıcaklık etkilerinin mıknatıs yüzeyi ve stator dişleri üzerinde yoğunlaştiği görülmektedir. Çalışmada belirlenen gerek stator sacları ve rotor çeliği, gerekse sabit mıknatıslar toplu parametreli devre modeli isıl analiz sonuçlarında belirtilen sıcaklık değerleri içinde çalışabilecek malzemeler olduğu anlaşılmıştır.

Toplu parametreli devre modeli ile eriştiğimiz sonuçlar doğrultusunda karar verilen malzemelerin gerçek isıl analiz testinden geçtiği ve bu malzemelerin gerçek özelliklerinin bu sıcaklık derecelerinde bozunuma uğrayarak değişmeyeceği yargısına ulaşılmıştır. Bununla birlikte bu malzemelerin tekerleki FDAM imalatında kullanılabilir olduğu sonucuna erişilmiştir. Bu çalışmanın sonuçlarından biriside toplu parametreli devre modeli sonuçlarının gerçekçi bir yaklaşım olduğunu ispatlar niteliktedir. Ayrıca elektrik araçlarda tercih edilen tekerleki FDAM üzerine incelemeler yapan araştırmacılar ve imalatçılar için bu model sonuçlarını kullanarak gerçekçi yaklaşımarda bulunabileceklerini göstermektedir. Motor-CAD yazılımının, tasarımcıya bu karmaşık ve önemli tasarım alanında gerçekçi sonuçlara ulaşmasına yardımcı olacak bir araç olduğu söylenebilir. %100 yerli otomobil yapılması hız verilmiş ve gerek devlet tarafından gereksiz özel sektör tarafından desteklenerek gelecekte ülkemize yön verecek olan bu aracın elektrikli otomobil olması öngörmektedir. Bu çalışmada elde edilen sonuçların 2023 yılı hedefleri doğrultusunda yerli elektrikli otomobil sürecine faydalı olacağı ve bu tip motorlar üzerine seri imalata yönelik uygulamalara destek niteliği taşıdığı düşünülmektedir.

## TEŞEKKÜR

Motor-Cad yazılımında yapılan analizlerle ilgili olarak Prof. Dr. Damir Zarko'ya ve Zagreb Üniversitesi Elektrik Mühendisliği ve Bilgisayar Bilimleri Fakültesinin vermiş olduğu destek için teşekkür ederim.

## KAYNAKLAR

- [1] Guechi M.R., Desveaux P., Baucour P., Espanet C., Brunel R. ve Poirot M. (2015). Experimental Study on the Improvement of the Thermal Behavior of Electric Motors. *Int. J. of Thermal & Environmental Engineering*, 9(2), 91-97.
- [2] Fakhfakh M. A., Kasem M.H., Tounsi S. ve Neji R. (2008). Thermal Analysis of a Permanent Magnet Synchronous Motor for Electric Vehicles. *Journal of Asian Electric Vehicle*, 6(2), 1145-1151.
- [3] Herbert J., Arafat A., Wang G. ve Choi S. (2016). Investigation of a Thermal Model for a Permanent Magnet Assisted Synchronous Reluctance Motor. *IEEE Applied Power Electronics Conference and Exposition (APEC)*, Long Beach, CA, USA, 20-24 Mart.
- [4] Zhu, S., Hu, Y., Liu, C. ve Wang, K. (2018). Iron Loss and Efficiency Analysis of Interior PM Machines for Electric Vehicle Applications. *IEEE Transactions on Industrial Electronics*, 65(1), 114-124.
- [5] Uma Devi K. ve Sanavullah M.Y. (2011). Performance Analysis Of Exterior(Outer) Rotor Permanent Magnet Brushless Dc (Erpmbldc) Motor By Finite Element Method. *3rd International Conference on Electronics Computer Technology (ICECT)*, Kanyakumari, India, 8-10 Nisan.
- [6] Cabuk A.S. (2016). A Novel Approach to Optimized Design of In-Wheel BLDC Motors. Doktora Tezi, Marmara Üniversitesi, Türkiye, s. 77-83.
- [7] Motor sargı yalıtım sınıfları ve çalışma sıcaklıkları, [www.emo.org.tr/ekler/2095bad7034daef\\_ek.pdf](http://www.emo.org.tr/ekler/2095bad7034daef_ek.pdf) (17.06.2018)
- [8] Motor sargı yalıtım sınıfları ve çalışma sıcaklıkları, [www.siemens.com.tr](http://www.siemens.com.tr) (17.06.2018)
- [9] Vansompel, H., Hemeida, A. ve Sergeant, P. (2017). Stator Heat Extraction System for Axial Flux Yokeless and Segmented Armature Machines. *IEEE International Electric Machines and Drives Conference (IEMDC)*, Miami, FL, USA, 21-24 Mayıs.
- [10] Nerg J., Rilla M. ve Pyrhönen J. (2008). Thermal Analysis of Radial Flux Electrical Machines with a High Power Density. *IEEE Transactions on Industrial Electronics*, 55(10), 3543 – 3554.
- [11] Cabuk A.S. (2019). *Mühendislik Alanında Araştırma ve Değerlendirmeler, Chapter 6 Tekerlekiçi Fırçasız Doğru Akım Motorlarının Isıl Devre Modeli İle Sicaklık Etkilerinin İncelenmesi*. Ankara, Türkiye: Gece Akademi.
- [12] ABB Distribution Automation Handbook (2011). Erişim Adresi: <https://new.abb.com/medium-voltage/distribution-automation/misc/distribution-automation-handbook>
- [13] ABB Motor Protection Calculation Tool for SPAM 150 C, User's Manual and Technical Description (2002) Erişim Adresi:[https://library.e.abb.com/public/9fa937448521cc28c2256bf1002d7252/FM\\_SPAM150C\\_750637\\_ENbab\\_2010](https://library.e.abb.com/public/9fa937448521cc28c2256bf1002d7252/FM_SPAM150C_750637_ENbab_2010).
- [14] Hakola, T. (1982). Application guide for protection of synchronous machines, ABB Relays Erişim Adresi: <https://new.abb.com/medium-voltage/distribution-automation/numerical-relays/motor-protection-and-control>.